



## کنترل بهینه غیرخطی برای یک پروتز رباتیکی بالای زانوی فعال با استفاده از رویکرد معادله ریکاتی وابسته به حالت

آنا باورساد<sup>۱</sup>، احمد فخاریان<sup>۱\*</sup>، محمد باقر منهج<sup>۲</sup>

<sup>۱</sup>دانشکده مهندسی برق، پزشکی و مکترونیک، دانشگاه آزاد اسلامی واحد قزوین، قزوین، ایران  
<sup>۲</sup>دانشکده مهندسی برق، دانشگاه صنعتی امیرکبیر، تهران، ایران

### تاریخچه داوری:

دریافت: ۱۳۹۸/۱۱/۰۷  
بازنگری: ۱۳۹۹/۰۲/۲۲  
پذیرش: ۱۳۹۹/۰۳/۳۱  
ارائه آنلاین: ۱۳۹۹/۰۴/۱۴

### کلمات کلیدی:

ردیابی  
کنترل بهینه غیرخطی  
کنترل حالت انتگرالی  
سیستم ربات/ پروتز  
محدوده اشباع

**خلاصه:** امروزه پیشرفت‌های علمی و تکنولوژیکی امکان جایگزینی پروتزهای رباتیکی پا را با اندام قطع شده ایجاد کرده است که طراحی کنترل کننده‌ی مناسب برای آن‌ها همچنان مورد بحث محققان می‌باشد. از این رو با توجه به اهمیت این موضوع در این مقاله ترکیبی از روش کنترل بهینه غیرخطی مبتنی بر رویکرد معادله ریکاتی وابسته به حالت با روش کنترل حالت انتگرالی برای یک پروتز رباتیکی از نوع فعال برای قطع عضوهای بالای زانو پیشنهاد شده است. هدف اصلی در این مقاله بهینه‌سازی مصرف انرژی سیستم ربات/ پروتز و ردیابی مطلوب مسیرهای مورد نظر در جابه‌جایی عمودی، لگن زاویه ران و زاویه زانو می‌باشد. همچنین با توجه به خاصیت مقاوم بودن کنترل کننده‌ی ترکیبی پیشنهادی آنالیز حساسیت نیز در مقابل  $\pm 30\%$  تغییر در مقدار پارامترهای سیستم بررسی و نتایج با رویکرد کنترل امپدانس مدل مرجع تطبیقی مقاوم مقایسه می‌گردد. عملکرد کنترل کننده در دو حالت حرکت نقطه به نقطه و ردیابی با لحاظ کردن محدوده‌های اشباع بر روی سیگنال‌های کنترلی سنجیده شده است. در نهایت نتایج شبیه‌سازی نشان‌دهنده‌ی کاهش تلاش کنترلی عملکرد مطلوب در ردیابی وضعیت‌ها و مقاومت نسبتاً خوب در حضور عدم قطعیت‌های پارامتری سیستم و اغتشاشات ثابت می‌باشد. نتایج عددی نیز بیان‌کننده‌ی کاهش قابل ملاحظه‌ی انرژی مصرفی و همچنین مقدار هزینه کل روش پیشنهادی در مقایسه با رویکرد کنترل امپدانس مدل مرجع تطبیقی مقاوم می‌باشد.

### ۱- مقدمه

عفونت‌ها، جنگ‌ها و غیره. انواع مختلفی از قطع عضو وجود دارد که می‌توان به زیر زانو<sup>۱</sup>، بالاتر از زانو<sup>۲</sup>، آمپوتاسیون<sup>۳</sup>های پا و قطع عضو مفصل لگن و زانو (قطع عضو از طریق مفصل) اشاره کرد. با پیشرفت علم و تکنولوژی، می‌توان برای بازگرداندن توانایی راه رفتن عادی این افراد، از پروتزهای رباتیکی پیشرفته پا بهره جست. سه نوع پروتز رباتیکی پا<sup>۴</sup> وجود دارد: غیرفعال (بدون کنترل الکترونیکی)، فعال (کنترل موتور) و نیمه‌فعال (کنترل بدون موتور). پروتز<sup>۵</sup> فعال در مقایسه با پروتزهای غیرفعال و نیمه‌فعال، راه رفتن طبیعی‌تری را

از جمله حرکات مهم انسان می‌توان به راه رفتن اشاره کرد. راه رفتن انسان بر روی دو پا در نتیجه فرآیند طولانی مدت تکامل اوست که نهایتاً منجر به حذف دست‌ها، از سیستم تحمل وزن در چرخه‌های راه رفتن شده است. با این حال توانایی فرد در نگهداری الگوی صحیح راه رفتن در برخی شرایط، نظیر قطع عضو اندام تحتانی، دچار اختلال می‌گردد [۱] میلیون‌ها انسان در سرتاسر جهان دچار قطع عضو می‌باشند و متأسفانه هر ساله به تعداد آن‌ها افزوده می‌گردد. قطع عضو دارای علل متعددی است از جمله: حوادث، سرطان، دیابت، بیماری‌های عروقی، ناهنجاری‌های مادرزادی، سکت‌های ناقص،  
\* نویسنده عهده‌دار مکاتبات: ahmad.fakharian@qiau.ac.ir

- 1 Transtibial
- 2 Transfemoral
- 3 Amputation
- 4 Prosthetic leg
- 5 Prosthesis



برای قطع عضوها به همراه خواهد داشت، در حالی که نیاز به نیرو و انرژی کمتری از کاربر دارد. پروتز مفصل زانو / مچ پا که هر دو مفصل فعال هستند، اخیراً در دانشگاه وندربیل<sup>۱</sup> ساخته شده است و در حال فرآیند تجاری سازی است. بسیاری از محققان اخیراً بر روی طراحی و کنترل این نوع و دیگر پروتزهای فعال تمرکز کرده اند [۲] یکی از بزرگترین چالش ها برای شخصی که پایش قطع شده است، مقدار انرژی بیومکانیکی مورد نیاز برای پیاده روی او می باشد. اشخاصی که قطع عضو بالای زانو دارند بیش از ۶۰٪ انرژی بیشتری را در هنگام قدم زدن نسبت به افراد سالم صرف می کنند. این نکته نشان می دهد که یک قطع عضو، نیازمند یک پای رباتیکی است که برای افزایش کیفیت زندگی او، به خوبی طراحی شده باشد! برای بهبود عملکرد پایهای رباتیکی می توان به مواردی همچون: کاهش وزن پروتز با استفاده از اجزای سبک، قوانین کنترل قابل اعتماد و پایدار برای طراحی و همچنین تکنولوژی رباتیک مبتنی بر تخمین که امکان حذف سلول های بارگذاری بزرگ و دیگر سنسورهای سنگین در پروتز را فراهم می کند، اشاره کرد. اگر چه این پیشرفت ها ممکن است منجر نشود که راه رفتن این افراد همانند افراد سالم باشد، اما می توانند با تقریب بهتری به راه رفتن طبیعی آنها کمک کنند [۳] در سال ۲۰۱۵ ریکتر<sup>۲</sup> و همکاران توسعه، مدل سازی، تخمین پارامترها و کنترل یک ربات قادر به تولید دو درجه آزادی حرکت لگن در دستگاه سهمی را توصیف کردند [۴] عظیمی و همکاران در سال ۲۰۱۶ برای یک پروتز رباتیکی فعال سه درجه آزادی بالای زانو، یک کنترل امپدانس تطبیقی کامپوزیتی مقاوم را پیشنهاد دادند [۵] در سال ۲۰۱۶، ابیگی<sup>۳</sup> و همکاران از یک کنترل کننده هایبرید، ترکیبی از دو روش شناخته شده کنترل تطبیقی برای تولید یک کنترل کننده استفاده کردند. کنترل کننده برای یک سیستم سه درجه آزادی که شامل یک ربات آزمایش یک درجه آزادی و یک پروتز دو درجه آزادی بود، طراحی شد [۶] عظیمی و همکاران در سال ۲۰۱۸ برای این پروتز رباتیکی، دو کنترل کننده امپدانس تطبیقی مقاوم و امپدانس تطبیقی کامپوزیت مقاوم را با هم مقایسه نمودند [۷] آنها در سال بعد در ادامه کار قبلی شان کنترل تطبیقی و کنترل تطبیقی مقاوم را برای این سیستم پیاده سازی کردند [۸] اخیراً کنترل بهینه مقاوم نیز

1 Vanderbilt  
2 Richter  
3 Ebeigbe

برای این سیستم طراحی شده است [۹] طراحی کنترل کننده برای سیستم های غیرخطی عموماً به مراتب پیچیده تر از سیستم های خطی می باشد. گاهی ممکن است منطقی باشد که سیستم کنترل با یک سیستم خطی شده تقریب زده شود، اما اگر محدوده کاری مورد نیاز وسیع باشد، یک کنترل کننده خطی بسیار ضعیف عمل کرده و حتی شاید ناپایدار شود. با در نظر گرفتن عوامل غیرخطی سیستم و مقدار تاثیرات آنها بر روی کارایی سیستم و همچنین وجود نامعینی های مدل می توان بیشتر به اهمیت کنترل کننده های غیرخطی پی برد. یکی دیگر از دلایل استفاده از تکنیک های کنترل غیرخطی بهینه بودن هزینه و کارایی است. کنترل خطی ممکن است نیاز به عملگرها و سنسورهایی با کیفیت بالا داشته باشد تا در محدوده کاری مشخص شده رفتار خطی ایجاد کنند، در حالی که کنترل غیرخطی امکان استفاده از عناصر کم هزینه تر با مشخصات غیرخطی را می دهد [۱۰]. با این حال، برخی از کنترل کننده ها فقط بر اساس مدل های خطی طراحی شده اند. در نتیجه، نیاز به خطی سازی سیستم های غیرخطی وجود دارد، که روش های مختلفی نیز برای آن پیشنهاد شده است از آن جمله می توان به تکنیک های تی-اس فازی<sup>۴</sup> اشاره کرد. از آن جایی که در این روش خطی سازی فقط در یک نقطه انجام نمی شود، نسبت به سایر روش های خطی سازی کلاسیک، دقیق تر می باشد [۱۱-۱۵]. اما در این مقاله از روش کنترل بهینه غیرخطی مبتنی بر معادله ریکاتی وابسته به حالت<sup>۵</sup> استفاده می گردد، که نیازی به محاسبات ژاکوبین ندارد و با توجه به دقت، انعطاف پذیری در طراحی، سیستماتیک بودن روش، قابلیت ترکیب با دیگر روش های کنترلی و ... امروزه مورد توجه بسیاری از طراحان قرار گرفته است. این روش در سال ۱۹۶۲ توسط پیرسون<sup>۶</sup> ارائه شده است. چیمین<sup>۷</sup> بررسی کاملی را در مورد ساختار، قضایای پایداری، بهینگی و پارامتریزه کردن وابسته به حالت روش معادله ریکاتی وابسته به حالت ارائه کرده است [۱۶]. بنکس<sup>۸</sup> و همکاران روش استخراج معادله ریکاتی از کنترل بهینه و حل عددی آن، مباحث و قضایای پایداری را ارائه کردند [۱۷].

4 Takagi-Sugeno Fuzzy  
5 State-dependent Riccati equation (SDRE)  
6 Pearson  
7 Çimen  
8 Banks

موازی با مفاصل الاستیک مبتنی بر معادله ریکاتی وابسته به حالت مورد بررسی قرار داد، که نتایج نشان‌دهنده‌ی عملکرد موفقیت‌آمیز این کنترل‌کننده در بحث ردیابی بود [۲۶]. ژین<sup>۱۱</sup> و همکاران از رهیافت معادله ریکاتی وابسته به حالت برای یافتن حل بازخوردی به طور مجانبی پایدار مسئله کنترل منیپولاتور دو مفصلی استفاده کردند [۲۷]. با فرض معلوم‌بودن پارامترها کوراییم و همکاران کنترل بازوهای مکانیکی صلب و همچنین انعطاف‌پذیر را با استفاده از کنترل مبتنی بر معادله ریکاتی وابسته به حالت مطرح نمودند [۲۸-۳۰].

بیک‌زاده و تقی‌راد در سال ۲۰۰۹ بررسی پایداری روش ریکاتی در سیستم‌های گسسته و طراحی تخمین‌گر ریکاتی را در محیطی همراه با اغتشاش انجام دادند [۳۱]. در سال ۲۰۱۶ حبیب‌نژاد کوراییم و همکاران برای بازوهای مکانیکی با مفاصل انعطاف‌پذیر کنترل‌کننده و تخمین‌گری مبتنی بر روش معادله ریکاتی وابسته به حالت را پیاده‌سازی کردند [۳۲].

از آنجایی که در توانبخشی و کاربردهای پزشکی مربوط به حرکت، کنترل بهینه و کاهش انرژی مصرفی همیشه یک دغدغه بوده است، از این‌رو در این مقاله نخست بحث بهینگی انرژی مطرح است و سپس ردیابی مطلوب جابه‌جایی عمودی لگن، زاویه ران و زاویه زانو و در نهایت توانایی مقاومت کنترل‌کننده‌ی پیشنهادی در برابر عدم قطعیت پارامتری  $\pm 30\%$  نیز بررسی می‌گردد. شایان ذکر است که این اولین بار می‌باشد که کنترل بهینه غیرخطی مبتنی بر معادله ریکاتی وابسته به حالت و ترکیب آن با کنترل حالت انتگرالی برای سیستم ربات/پروتز سه درجه آزادی بالای زانو از نوع فعال طراحی می‌گردد. در این مقاله برای نزدیک‌تر شدن نتایج شبیه‌سازی به واقعیت، محدودیت محرک<sup>۱۲</sup>ها نیز بر روی سیگنال‌های کنترل لحاظ گردیده‌است و تمامی اطلاعات و داده‌های مسیر مرجع از داده‌های آزمایشگاه مطالعه حرکت دانشگاه کلیولند<sup>۱۳</sup> امریکا دریافت شده‌است. نهایتاً عملکرد کنترل‌کننده در دو حالت حرکت نقطه به نقطه<sup>۱۴</sup> و ردیابی با در نظر گرفتن حد مجاز ورودی‌های کنترلی سنجیده شده است.

ساختار ادامه مقاله بدین شرح می‌باشد. در بخش ۲ به بررسی مدل پروتز رباتیکی پا پرداخته می‌شود، در بخش ۳ کنترل‌کننده‌ی

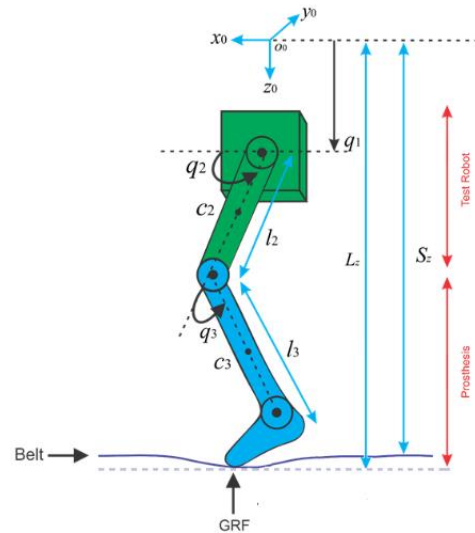
کلوتیر<sup>۱</sup> و استنسبری<sup>۲</sup> به بررسی قابلیت‌های روش ریکاتی از آن جمله تاثیر مستقیم ماتریس‌های وزنی **R** و **Q** بر روی سیگنال کنترل و متغیرهای حالت سیستم، در نظر گرفتن جملات غیرخطی و افزایش درجه آزادی سیستم در هنگام طراحی پرداخته‌است [۱۸]. چیمن و بنکس برای حل مسئله کنترل ردیابی بهینه زمان محدود غیرخطی از توالی تقریبی معادله ریکاتی استفاده کردند [۱۹]. فخاریان و همکاران برای حل معادله ریکاتی در رویکرد کنترل بهینه، چند روش عددی را پیشنهاد دادند [۲۰-۲۱]. یونگ<sup>۳</sup> و همکاران مسائل رگولاتور<sup>۴</sup> و ردیابی برای یک فضاپیما را مبتنی بر معادله ریکاتی وابسته به حالت بررسی کردند و پایداری مجانبی فراگیر کنترل‌کننده را با استفاده از تئوری لیاپانوف و شبیه‌سازی‌های مونت-کارلو<sup>۵</sup> انجام دادند [۲۲]. اورنلس-تلز<sup>۶</sup> و همکاران کنترل بهینه را برای ردیابی سیستم‌های غیرخطی فاکتورگیری شده‌ی ضرایب وابسته به حالت با حل معادله هامیلتون-ژاکوبی-بلمن و کمینه‌کردن شاخص عملکرد مربعی برای دو سیستم با کاربردهای عملی الگوریتم ون در پل<sup>۷</sup> و یک ژنراتور القایی دو بار تغذیه‌شده انجام دادند، که نتایج نشان‌دهنده‌ی اثربخشی طرح کنترلی بود [۲۳]. قانع و منهج نیز تجزیه و تحلیل کاملی را در مورد پایداری سیستم‌های خودمختار غیرخطی که به شکل شبه‌خطی بیان شده‌اند، ارائه کرده‌اند [۲۴].

در زمینه رباتیک، بحث تنظیم<sup>۸</sup>، ردیابی و پیاده‌سازی کنترل‌کننده مبتنی بر معادله ریکاتی وابسته به حالت، اثر بخشی آن از لحاظ دقت، عملکرد و بهینه‌سازی در تحقیقات بسیاری بررسی شده‌است، که نشان‌دهنده‌ی موفقیت و عملکرد مطلوب این کنترل‌کننده بوده‌است. اینوسنتی<sup>۸</sup> و همکاران کنترل‌کننده مبتنی بر معادله ریکاتی وابسته به حالت را بر روی یک ربات منیپولاتور<sup>۹</sup> حرکت آهسته پیاده‌سازی کرده‌اند، که نتایج بدست‌آمده رضایت‌بخش بود، اگر چه به دلیل محدودیت‌های سخت‌افزاری، همه مفاصل منیپولاتور کنترل‌نشده [۲۵]. کیلیچاسلان<sup>۱۰</sup> مسئله ردیابی را برای ربات‌های

- 1 Cloutier
- 2 Stansbery
- 3 Jung
- 4 Regulator
- 5 Monte-Carlo
- 6 Ornelas-Tellez
- 7 Van der pol
- 8 Regulation
- 8 Innocenti
- 9 Manipulator
- 10 Kiliçaslan

- 11 Xin
- 12 Actuators
- 13 Cleveland
- 14 Point-to-Point Motion

$\mathbf{M}(\mathbf{q})$  ماتریس اینرسی معکوس پذیر،  $\mathbf{C}_p(\mathbf{q}, \dot{\mathbf{q}})$  ماتریس کوریولیس و جانب مرکز<sup>۲</sup>،  $\mathbf{G}_p(\mathbf{q})$  بردار گرانشی و  $\mathbf{R}_p(\mathbf{q}, \dot{\mathbf{q}})$  بردار دمپینگ<sup>۳</sup> غیر خطی می‌باشند (اطلاعات تکمیلی در پیوست ذکر شده‌اند).  $\mathbf{u}(t)$  سیگنال کنترل است که شامل نیروی کنترل فعال در مفصل ران (لگن) و گشتاورهای کنترل فعال در ران و پروتز رباتیکی زانو است. اثر ترکیبی مولفه افقی  $F_x$  و مولفه عمودی  $F_z$  از نیروهای واکنش زمین<sup>۴</sup> به روی هر مفصل می‌باشد. یک تردمیل نیز به عنوان سطح راه رفتن ربات تست پروتز استفاده می‌شود و تسمه‌ی تردمیل همچون یک سختی مکانیکی مدل سازی می‌گردد، بنابراین نیروهای واکنش از تردمیل تابعی از انحنای تسمه هستند. مفهوم  $\mathbf{T}_e$  از نیروهای واکنش زمین در زیر با بیان معادلات (۲)، (۳)، (۴) و (۵) توصیف می‌شود:



شکل ۱. مدل پروتز رباتیکی پا با زاویه مچ پای صلب  
Fig. 1. Prosthetic leg model with rigid ankle

$$\mathbf{T}_e(\mathbf{q}(t)) = \begin{bmatrix} F_z \\ F_z(l_2 \cos(q_2) + l_3 \cos(q_2 + q_3)) - F_x \\ F_z(l_3 \cos(q_2 + q_3)) - F_x \\ l_2 \sin(q_2) + l_3 \sin(q_2 + q_3) \\ l_3 \sin(q_2 + q_3) \end{bmatrix} \quad (2)$$

$$L_z = q_1 + l_2 \sin(q_2) + l_3 \sin(q_2 + q_3) \quad (3)$$

$$F_z = \begin{cases} 0 & , L_z < s_z \\ k_b(s_z - L_z) & , L_z > s_z \end{cases} \quad (4)$$

$$F_x = \beta F_z \quad (5)$$

که در این معادلات  $L_z$  نشان دهنده‌ی موقعیت عمودی از پایین پا در فریم کلی  $(x_0, y_0, z_0)$ ،  $l_2$  طول ران و  $l_3$  طول ساق پا می‌باشند.  $S_z$  فاصله عمودی بین مبدأ قاب کلی و تسمه،  $k_b$  سختی تسمه و  $\beta$  ضریب اصطکاک تسمه هستند (شکل ۱). مقادیر نامی پارامترها در جدول ۱ بیان شده است. مقادیر پارامترهای تردمیل نیز بدین شرح می‌باشند:  $S_z = 0.905$  (m)،  $k_b = 37000$  (N/m) و  $\beta = 0.2$ .

از آن جایی که مبنای کار ما مقایسه با مرجع [۲] می‌باشد، جدول ۱ دقیقاً از آن مرجع گرفته شده است.

مبتنی بر معادله ریگاتی وابسته به حالت، فرمولاسیون و پایداری آن مطرح می‌گردد. اعمال روش پیشنهادی بر روی سیستم ربات / پروتز در بخش ۴ ارائه شده است. نتایج شبیه‌سازی‌ها در بخش ۵ و در نهایت نتیجه‌گیری در بخش ۶ بیان گردیده‌اند.

## ۲- مدل پروتز رباتیکی پا [۲]

در این بخش به بررسی مدل پیشنهاد شده برای پروتز رباتیکی پا دارای سه لینک و با سه درجه آزادی پرداخته می‌شود. این مدل دارای ساختار چرخشی-چرخشی-کشویی<sup>۱</sup> است. همانطور که در شکل ۱ ملاحظه می‌گردد، درجه آزادی عمودی نشان‌دهنده‌ی حرکت لگن شخص، محور چرخشی اول و دوم نیز به ترتیب معرف حرکت زاویه‌ای ران و حرکت زاویه‌ای زانو می‌باشند. مدل سه درجه آزادی می‌تواند به شکل معادله‌ی (۱) نوشته شود:

$$\mathbf{M}(\mathbf{q}(t))\ddot{\mathbf{q}}(t) + \mathbf{C}_p(\mathbf{q}(t), \dot{\mathbf{q}}(t))\dot{\mathbf{q}}(t) + \mathbf{G}_p(\mathbf{q}(t)) + \mathbf{R}_p(\mathbf{q}(t), \dot{\mathbf{q}}(t)) = \mathbf{u}(t) - \mathbf{T}_e(\mathbf{q}(t)) \quad (1)$$

که  $\mathbf{q}^T = [q_1 \ q_2 \ q_3]$  بردار جابه‌جایی‌های کلی مفصل ( $q_1$ ) جابه‌جایی عمودی لگن،  $q_2$  زاویه‌ی ران و  $q_3$  زاویه‌ی زانو است.

2 Coriolis and Centripetal matrix  
3 Damping  
4 Ground Reaction Force (GRF)

1 Prismatic-Revolute-Revolute (PRR)

جدول ۱. مقادیر نامی پارامترها در مدل پروتز رباتیکی پا

Table 1. Nominal values of prosthetic leg model parameters

واحد	مقدار	نماد	پارامتر
kg	۴۰/۵۹۶۹	$m_1$	جرم لینک ۱
kg	۸/۵۷۳۱	$m_2$	جرم لینک ۲
kg	۲/۲۹	$m_3$	جرم لینک ۳
m	۰/۴۲۵	$l_2$	طول ران
m	۰/۵۲۷	$l_3$	طول ساق پا تا کف کفش
m	۰/۰۹	$c_2$	مرکز جرم ران
m	۰/۳۲	$c_3$	مرکز جرم ساق پا
kg-m <sup>2</sup>	۰/۱۳۸	$I_{2Z}$	اینرسی دوار لینک ۲
kg-m <sup>2</sup>	۰/۰۶۱۸	$I_{3Z}$	اینرسی دوار لینک ۳
N	۸۳/۳۳	$f$	اصطکاک لغزشی در لینک ۱
N-m-s	۹/۷۵	$b$	دمپینگ محرک چرخشی
m/s <sup>2</sup>	۹/۸۱	$g$	شتاب گرانش

### ۳- کنترل کننده مبتنی بر معادله ریگاتی وابسته به حالت<sup>۱</sup>

یکی از مهم‌ترین کنترل کننده‌های مبتنی بر روش پارامتریزه وابسته به حالت، کنترل بهینه غیرخطی مبتنی بر معادله ریگاتی وابسته به حالت است. هدف از این کنترل کننده یافتن ورودی کنترلی است که، ضمن پایدارشدن سیستم حلقه بسته و ارضاء قیود تعریف شده برای آن، تابع هزینه مربوطه نیز حداقل گردد و متغیرهای حالت سیستم با کم‌ترین تلاش کنترلی عملکرد مطلوبی در بحث ردیابی داشته باشند [۳۳].

### ۳-۱- فرمولاسیون کنترل کننده مبتنی بر معادله ریگاتی وابسته به حالت

سیستم غیرخطی افاین<sup>۲</sup> نسبت به ورودی و نامتغیر با زمان زیر را در نظر بگیرید:

$$\begin{cases} \dot{\mathbf{x}}(t) = \mathbf{f}(\mathbf{x}(t)) + \mathbf{g}(\mathbf{x}(t))\mathbf{u}(t) \\ \mathbf{y}(t) = \mathbf{C}(\mathbf{x}(t))\mathbf{x}(t) \end{cases} \quad (A)$$

که در آن  $\mathbf{x}(t) \in R^n$  متغیرهای حالت سیستم و  $\mathbf{u}(t) \in R^m$  ورودی‌های سیستم هستند.

حال با در نظر گرفتن  $\mathbf{f}(\mathbf{x}(t)) = \mathbf{A}(\mathbf{x}(t))\mathbf{x}(t)$  و  $\mathbf{g}(\mathbf{x}(t)) = \mathbf{B}(\mathbf{x}(t))$

و در نهایت حالت‌ها، ورودی‌های کنترلی و مسیرهای مرجع به ترتیب در معادله (۶) به صورت زیر معرفی می‌شوند:

$$\begin{aligned} \mathbf{x}^T(t) &= [q_1 \quad q_2 \quad q_3 \quad \dot{q}_1 \quad \dot{q}_2 \quad \dot{q}_3] \\ \mathbf{u}^T(t) &= [f_{hip} \quad \tau_{thigh} \quad \tau_{knee}] \\ \mathbf{r}_d^T(t) &= [r_{d1} \quad r_{d2} \quad r_{d3} \quad r_{d4} \quad r_{d5} \quad r_{d6}] \end{aligned} \quad (6)$$

با توجه به معادله (۱)، معادله فضای حالت سیستم به صورت معادله (۷) بیان می‌شود:

$$\dot{\mathbf{x}}(t) = [\dot{x}_1(t) \quad \dot{x}_2(t) \quad \dot{x}_3(t) \quad \dot{x}_4(t) \quad \dot{x}_5(t) \quad \dot{x}_6(t)]^T = [\dot{q}_1 \quad \dot{q}_2 \quad \dot{q}_3 \quad \ddot{q}_1 \quad \ddot{q}_2 \quad \ddot{q}_3]^T \quad (7)$$

$$\begin{bmatrix} \dot{x}_1(t) \\ \dot{x}_2(t) \\ \dot{x}_3(t) \\ \dot{x}_4(t) \\ \dot{x}_5(t) \\ \dot{x}_6(t) \end{bmatrix} = \begin{bmatrix} x_4(t) \\ x_5(t) \\ x_6(t) \\ [1 \quad 0 \quad 0]\mathbf{M}^{-1}(\cdot)[\mathbf{u}(t) - \mathbf{T}_c - \mathbf{C}_p\dot{\mathbf{q}} - \mathbf{G}_p - \mathbf{R}_p] \\ [0 \quad 1 \quad 0]\mathbf{M}^{-1}(\cdot)[\mathbf{u}(t) - \mathbf{T}_c - \mathbf{C}_p\dot{\mathbf{q}} - \mathbf{G}_p - \mathbf{R}_p] \\ [0 \quad 0 \quad 1]\mathbf{M}^{-1}(\cdot)[\mathbf{u}(t) - \mathbf{T}_c - \mathbf{C}_p\dot{\mathbf{q}} - \mathbf{G}_p - \mathbf{R}_p] \end{bmatrix}$$

در ادامه بدنبال طراحی کنترل کننده به گونه ای هستیم که اولاً انرژی مصرفی حداقل شود و ثانیاً متغیرهای حالت  $q_1$ ،  $q_2$  و  $q_3$  مسیر از پیش تعیین شده را با دقت دنبال کنند.

1 SDRE  
2 Affine

که در آن  $\lambda(t)$  بردار شبه حالت<sup>۳</sup> نامیده می‌شود و برابر است با:

$$\begin{aligned} \lambda(t) &= \mathbf{K}(\mathbf{x}(t))\mathbf{x}(t) \\ \dot{\lambda}(t) &= \dot{\mathbf{K}}(\mathbf{x}(t))\mathbf{x}(t) + \mathbf{K}(\mathbf{x}(t))\dot{\mathbf{x}}(t) \end{aligned} \quad (13)$$

برای این که تابع همیلتونین بهینه شود باید شرایط زیر برقرار باشند:

$$\frac{\partial H(\cdot)}{\partial \mathbf{u}(t)} = 0, \quad \frac{\partial H(\cdot)}{\partial \mathbf{x}(t)} = -\dot{\lambda}(t), \quad \frac{\partial H(\cdot)}{\partial \lambda(t)} = \dot{\mathbf{x}}(t) \quad (14)$$

با حل معادله (۱۴) بردار ورودی کنترلی  $\mathbf{u}_{(SDRE)}(t)$  به صورت زیر بدست می‌آید:

$$\mathbf{u}_{(SDRE)}(t) = -\mathbf{R}^{-1} \mathbf{B}^T(\mathbf{x}(t)) \mathbf{K}(\mathbf{x}(t)) \mathbf{x}(t) \quad (15)$$

که در آن ماتریس مربعی  $n \times n$ ،  $\mathbf{K}(\mathbf{x}(t))$  غیرمنحصر به فرد، متقارن و مثبت معین است و مقدار آن با حل معادله جبری ریکاتی<sup>۴</sup> وابسته به حالت (۱۶) محاسبه می‌شود [۳۲]:

$$\begin{aligned} \mathbf{A}^T(\mathbf{x}(t)) \mathbf{K}(\mathbf{x}(t)) + \mathbf{K}(\mathbf{x}(t)) \mathbf{A}(\mathbf{x}(t)) - \mathbf{K}(\mathbf{x}(t)) \\ \mathbf{B}(\mathbf{x}(t)) \mathbf{R}^{-1} \mathbf{B}^T(\mathbf{x}(t)) \mathbf{K}(\mathbf{x}(t)) + \mathbf{C}^T \mathbf{Q} \mathbf{C} = 0 \end{aligned} \quad (16)$$

### ۳-۲- بررسی پایداری روش معادله ریکاتی وابسته به حالت

قبل از بررسی پایداری تعاریف زیر مطابق با مرجع [۱۶] ارائه می‌گردد:

تعریف ۲- نمایش (۸) را یک نمایش پایدارپذیر (کنترل‌پذیر) از سیستم غیرخطی (۷)، در ناحیه  $\Omega \in R^n$  می‌گوییم، اگر برای هر  $x \in \Omega$  زوج  $\{\mathbf{A}(\mathbf{x}(t)), \mathbf{B}(\mathbf{x}(t))\}$  به صورت نقطه‌ای از دیدگاه خطی پایدارپذیر (کنترل‌پذیر) باشد.

تعریف ۳- ماتریس حالت  $\mathbf{A}(\mathbf{x}(t))$  را در ناحیه  $\Omega \in R^n$ ، به صورت نقطه‌ای هر ویتز<sup>۵</sup> می‌گوییم، اگر برای هر  $x \in \Omega$ ، تمام مقادیر ویژه ماتریس  $\mathbf{A}(\mathbf{x}(t))$  در ناحیه باز  $\text{Re}(\lambda_i(\mathbf{A}(\mathbf{x}))) < 0$  باشند.

تعریف ۴- نمایش (۹) را یک نمایش آشکارپذیر (رویت‌پذیر) از سیستم غیرخطی (۸)، در ناحیه  $\Omega \in R^n$  می‌گوییم، اگر برای هر  $x \in \Omega$  زوج  $\{\mathbf{A}(\mathbf{x}(t)), \mathbf{C}^T \mathbf{Q}^{1/2} \mathbf{C}\}$  به صورت نقطه‌ای از دیدگاه خطی آشکارپذیر (رویت‌پذیر) باشند.

سیستم غیرخطی (۸) به شکل سیستم پارامتریزه شده وابسته به حالت (۹) در نظر گرفته می‌شود:

$$\begin{cases} \dot{\mathbf{x}}(t) = \mathbf{A}(\mathbf{x}(t)) \mathbf{x}(t) + \mathbf{B}(\mathbf{x}(t)) \mathbf{u}(t) \\ \mathbf{y}(t) = \mathbf{C}(\mathbf{x}(t)) \mathbf{x}(t) \end{cases} \quad (9)$$

روش پارامتریزه کردن وابسته به حالت به عملیاتی گفته می‌شود که در طی آن با استفاده از فاکتورگیری سیستم غیرخطی به یک سیستم ماتریسی شبه خطی با حفظ ساختار قبلی تبدیل می‌گردد. در معادله (۹)،  $\mathbf{A}(\mathbf{x}(t)): R^n \rightarrow R^{n \times n}$  و  $\mathbf{B}(\mathbf{x}(t)): R^n \rightarrow R^{n \times m}$  که  $\mathbf{B}(\mathbf{x}(t)) \neq 0$  است، ماتریس‌های ضرایب وابسته به حالت<sup>۱</sup> هستند. در صورتی که سیستم بیش از یک متغیر حالت داشته باشد، می‌توان شبه‌خطی‌سازی را به بی‌نهایت شکل مختلف انجام داد.

تعریف ۱ [۱۶]- فرض کنید که  $\mathbf{f}(\mathbf{x}(t))$  دو نمایش شبه خطی  $\mathbf{f}(\mathbf{x}(t)) = \mathbf{A}_1(\mathbf{x}(t))\mathbf{x}(t)$  و  $\mathbf{f}(\mathbf{x}(t)) = \mathbf{A}_2(\mathbf{x}(t))\mathbf{x}(t)$  را داشته باشد، در این صورت مطابق رابطه (۱۰) به ازای هر  $\alpha \in R$ ، بی‌شمار نمایش جدید دیگر برای  $\mathbf{A}(\mathbf{x}(t))$  قابل دستیابی می‌باشد.

$$\mathbf{A}(\mathbf{x}(t), \alpha) = \alpha \mathbf{A}_1(\mathbf{x}(t)) + (1-\alpha) \mathbf{A}_2(\mathbf{x}(t)) \quad (10)$$

که این قابلیت یکی از مزایای استفاده از روش معادله ریکاتی وابسته به حالت بشمار می‌آید، که منجر به افزایش درجه آزادی در طراحی می‌شود.

در طراحی کنترل بهینه هدف حداقل کردن انرژی خروجی و ورودی است در نتیجه می‌بایست که شاخص عملکرد  $J_0$  حداقل گردد:

$$J_0 = \frac{1}{2} \int_0^{\infty} \left\{ \mathbf{x}^T(t) \mathbf{C}^T \mathbf{Q}^{1/2} \mathbf{C} \mathbf{x}(t) + \mathbf{u}^T(t) \mathbf{R} \mathbf{u}(t) \right\} dt \quad (11)$$

$\mathbf{Q}$  و  $\mathbf{R}$  ماتریس‌های وزنی هستند که  $\mathbf{R} > 0$  و  $m \times m$  و  $\mathbf{Q} > 0$ ،  $n \times n$ ،  $[\mathbf{C}^T \mathbf{Q}^{1/2} \mathbf{C}] \geq 0$  و هر دو متقارن می‌باشند.

فرم همیلتونین<sup>۲</sup> مسئله بهینه‌سازی (۱۱) به صورت معادله (۱۲) بیان می‌گردد:

$$\mathbf{H}(\mathbf{x}(t), \mathbf{u}(t), \lambda(t)) = J_0 + \lambda^T(t) \dot{\mathbf{x}}(t) \quad (12)$$

3 Co-state  
4 Riccati  
5 Hurwitz

1 State Dependent Coefficient (SDC)  
2 Hamiltonian



وضعیت‌ها و سرعت‌ها می‌باشد. مراحل کار به صورت زیر است:

۱- معادله فضای حالت سیستم غیرخطی (۱) در نظر گرفته می‌شود.

۲- معادله (۷) به فرم ماتریس‌های ضرایب وابسته به حالت (۹) تبدیل می‌گردد.

۳- ماتریس‌های وزنی  $\mathbf{R}$  و  $\mathbf{Q}$ ، شرایط اولیه و نهایی انتخاب می‌شوند.

۴- معادله جبری ریکاتی (۱۶) برای محاسبه ماتریس مربعی  $\mathbf{K}$  حل می‌گردد.

۵- سیگنال کنترل  $\mathbf{u}_{(SDRE)}(t)$  (۱۵) بدست می‌آید.

۶- در نهایت قانون کنترلی به معادله فضای حالت سیستم حلقه بسته (۷) اعمال می‌گردد.

#### ۴-۲- طراحی سیستم ردیاب با استفاده از تکنیک کنترل حالت انتگرالی

پس از حل مسئله کنترل حرکت نقطه به نقطه، به دنبال طراحی یک کنترل‌کننده ردیاب هستیم، بطوری که متغیرهای حالت  $q_1$ ،  $q_2$  و  $q_3$  مسیرهای مطلوب از پیش تعیین شده را دنبال کنند. برای این منظور از تکنیک کنترل حالت انتگرالی<sup>۱</sup> استفاده می‌شود، که علاوه بر تضمین ردیابی در حالت ماندگار، اثر اغتشاشهای ثابت را نیز بر روی پاسخ سیستم حلقه‌بسته از بین می‌برد. در این روش انتگرال خطای ردیابی سه متغیر حالت اول، به عنوان متغیرهای حالت جدید به سیستم افزوده می‌گردد. حالت انتگرالی  $e$  به صورت زیر تعریف می‌شود:

$$\begin{aligned} \dot{\mathbf{e}}(t) &= \mathbf{r}_d(t) - \mathbf{y}(t) = \mathbf{r}_d(t) - \mathbf{C}\mathbf{x}(t) \\ \dot{x}_7(t) &= r_{d1}(t) - x_1(t) \\ \dot{x}_8(t) &= r_{d2}(t) - x_2(t) \\ \dot{x}_9(t) &= r_{d3}(t) - x_3(t) \end{aligned} \quad (21)$$

که در آن  $\mathbf{r}_d(t)$  مسیرهای مطلوب (۶)،  $\mathbf{y}(t)$  خروجی سیستم و  $\mathbf{C} = \mathbf{I}_{3 \times 3}$  ماتریس خروجی سیستم می‌باشند.

در نتیجه:

باتوجه به تعاریف بالا و با این فرض که ماتریس ضرایب حلقه بسته  $(\mathbf{A}_c)$  برای تمام مقادیر  $\mathbf{x}$  متقارن باشد، آنگاه براساس قضیه ۳ مرجع [۱۶] سیستم حلقه‌بسته پایدار مجانبی فراگیر می‌باشد. همچنین براساس قضیه ۲ همان مرجع با اعمال کنترل فیدبک (۱۵) سیستم حلقه‌بسته پایدار مجانبی محلی خواهد بود.

برای اثبات تعاریف ۲ و ۴ اگر مرتبه ماتریس‌های (۱۷) و (۱۸) کامل باشد، به ترتیب کنترل‌پذیری و رویت‌پذیری سیستم تضمین می‌گردد.

$$\mathbf{M}^c = [\mathbf{B}(\mathbf{x}(t)) \quad \mathbf{A}(\mathbf{x}(t))\mathbf{B}(\mathbf{x}(t)) \quad \mathbf{A}^2(\mathbf{x}(t))\mathbf{B}(\mathbf{x}(t)) \quad \dots \quad \mathbf{A}^{n-1}(\mathbf{x}(t))\mathbf{B}(\mathbf{x}(t))] \quad (17)$$

$$\mathbf{M}^o = [\mathbf{C} \quad \mathbf{C}\mathbf{A}(\mathbf{x}(t)) \quad \mathbf{C}\mathbf{A}^2(\mathbf{x}(t)) \quad \dots \quad \mathbf{C}\mathbf{A}^{n-1}(\mathbf{x}(t))] \quad (18)$$

#### ۴- اعمال روش پیشنهادی بر روی سیستم ربات/ پروتز

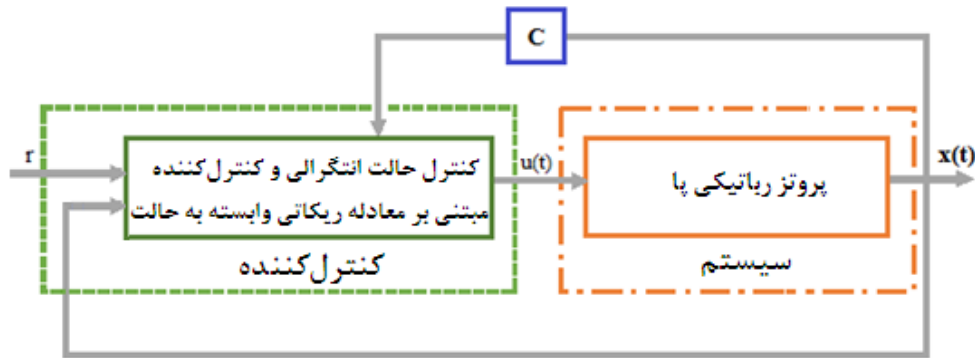
همان‌گونه که اشاره شد، برای سیستم‌های چند متغیره می‌توان اثبات کرد که بی‌شمار نمایش ماتریس‌های ضرایب وابسته به حالت وجود دارد. این مزیت روش معادله ریکاتی وابسته به حالت انعطاف‌پذیری در طراحی را ایجاد می‌کند، که می‌توان به کمک آن بین معیارهای بهینگی، پایداری و مقاومت بودن مصالحه برقرار کرد و عملکرد سیستم را بهبود بخشید. اما برای سیستم‌های پیچیده‌ی رباتیکی با درجه آزادی بالا، فاکتورگیری و محاسبه ماتریس‌های وابسته به حالت کاری دشوار است. از این رو در این مقاله، ماتریس‌های پارامتریزه وابسته به حالت سیستم، با توجه به روش پیشنهادی مراجع [۳۰ و ۲۸] به صورت زیر انتخاب می‌شوند:

$$\mathbf{A}_{6 \times 6}(\mathbf{x}(t)) = \begin{bmatrix} \mathbf{0}_{3 \times 3} & \mathbf{I}_{3 \times 3} \\ \mathbf{0}_{3 \times 3} & -\mathbf{M}_{3 \times 3}^{-1}(\mathbf{q}(t))\mathbf{C}_{p3 \times 3}(\mathbf{q}(t), \dot{\mathbf{q}}(t)) \end{bmatrix} \quad (19)$$

$$\mathbf{B}_{3 \times 6}(\mathbf{x}(t)) = \begin{bmatrix} \mathbf{0}_{3 \times 3} \\ -\mathbf{M}_{3 \times 3}^{-1}(\mathbf{q}(t)) \end{bmatrix} \quad (20)$$

#### ۴-۱- حرکت نقطه به نقطه

در این بخش هدف، بررسی اولیه عملکرد کنترل‌کننده در جابه‌جایی از نقطه پیش فرض ابتدایی، به نقطه موردنظر انتهایی برای



شکل ۲. سیستم کنترل حلقه بسته پیشنهادی

Fig. 2. Proposed closed-loop control system

حالت به سیستم افزوده شده (۲۴) و با توجه به معادلات (۱۵) و (۱۶)، قانون کنترل به صورت زیر بدست می آید.

$$\mathbf{u}_{\text{SDRE+ISC}}(t) = -\mathbf{R}^{-1} \mathbf{B}_a^T(\mathbf{x}(t)) \mathbf{K}(\mathbf{x}_a(t)) \mathbf{x}_a(t) \quad (26)$$

$$\mathbf{A}_a^T(\mathbf{x}_a(t)) \mathbf{K}(\mathbf{x}_a(t)) + \mathbf{K}(\mathbf{x}_a(t)) \mathbf{A}_a(\mathbf{x}_a(t)) - \mathbf{K}(\mathbf{x}_a(t)) \mathbf{B}_a(\mathbf{x}_a(t)) \mathbf{R}^{-1} \mathbf{B}_a^T(\mathbf{x}_a(t)) \mathbf{K}(\mathbf{x}_a(t)) + \mathbf{C}_a^T \mathbf{Q}_a \frac{1}{2} \mathbf{C}_a = 0 \quad (27)$$

شایان ذکر است که در این حالت ابعاد ماتریس  $\mathbf{Q}$  مطابق با  $\mathbf{x}_a(t)$  تغییر می کند. در نهایت این عملکرد به پایداری مجانبی سیستم حلقه بسته منجر خواهد شد و لذا متغیرهای حالت کراندار خواهند بود و خواهیم داشت:

$$\lim_{t \rightarrow \infty} \dot{\mathbf{e}}(t) = \lim_{t \rightarrow \infty} (\mathbf{r}_d(t) - \mathbf{y}(t)) = 0 \quad (28)$$

و در نتیجه :

$$\lim_{t \rightarrow \infty} \mathbf{y}(t) = \mathbf{r}_d(t) \quad (29)$$

که نشان دهنده ی ردیابی ایده آل در حالت ماندگار می باشد. به طور کلی سیستم طراحی شده با فیدبک حالت انتگرالی ویژگی های خاص کنترل کننده های انتگرالی را دارد. در واقع این سیستم اثر اغتشاش ثابت در پاسخ سیستم حلقه بسته را تضعیف و در حالت ماندگار حذف می کند و در برابر تغییرات پارامترها تا حدی مقاوم است [۳۴]. بلوک دیاگرام سیستم کنترلی پیشنهادی مطابق شکل ۲ می باشد.

برای بررسی عملکرد سیستم کنترلی پیشنهادی، دو شاخص عملکردی براساس مقدار موثر خطای ردیابی و انرژی به صورت زیر تعریف می شود:

$$\mathbf{x}_a = [x_1 \ x_2 \ x_3 \ x_4 \ x_5 \ x_6 \ x_7 \ x_8 \ x_9] \quad (22)$$

$$= [q_1 \ q_2 \ q_3 \ \dot{q}_1 \ \dot{q}_2 \ \dot{q}_3 \ \dot{x}_7 \ \dot{x}_8 \ \dot{x}_9]$$

در این صورت ماتریس های  $\mathbf{A}_a(\mathbf{x}(t))$ ،  $\mathbf{B}_a(\mathbf{x}(t))$  و  $\mathbf{C}_a$  به شکل رابطه (۲۳) تنظیم می شوند.

$$\mathbf{A}_a(\mathbf{x}(t)) = \begin{bmatrix} \mathbf{A}(\mathbf{x}(t)) & \mathbf{0}_{2 \times 1} \\ -\mathbf{C} & \mathbf{0}_{3 \times 6} \end{bmatrix}_{9 \times 9} \quad (23)$$

$$\mathbf{B}_a(\mathbf{x}(t)) = \begin{bmatrix} \mathbf{B}(\mathbf{x}(t)) \\ \mathbf{0}_{3 \times 3} \end{bmatrix}_{9 \times 3}, \quad \mathbf{C}_a = [\mathbf{C} \ \mathbf{0}_{3 \times 6}]_{3 \times 9}$$

که در آن ماتریس های  $\mathbf{A}(\mathbf{x}(t))$  و  $\mathbf{B}(\mathbf{x}(t))$  از (۱۹) و (۲۰) بدست می آیند. در نهایت معادلات حالت و خروجی سیستم افزوده به صورت رابطه (۲۳) تغییر می کنند:

$$\begin{cases} \dot{\mathbf{x}}_a(t) = \mathbf{A}_a(\mathbf{x}(t)) \mathbf{x}_a(t) + \mathbf{B}_a(\mathbf{x}(t)) \mathbf{u}(t)_{3 \times 1} + [\mathbf{0} \ \mathbf{I}]_{9 \times 9}^T \mathbf{r}(t)_{9 \times 1} \\ \mathbf{y}_a(t) = \mathbf{C}_a \mathbf{x}_a(t) \end{cases} \quad (24)$$

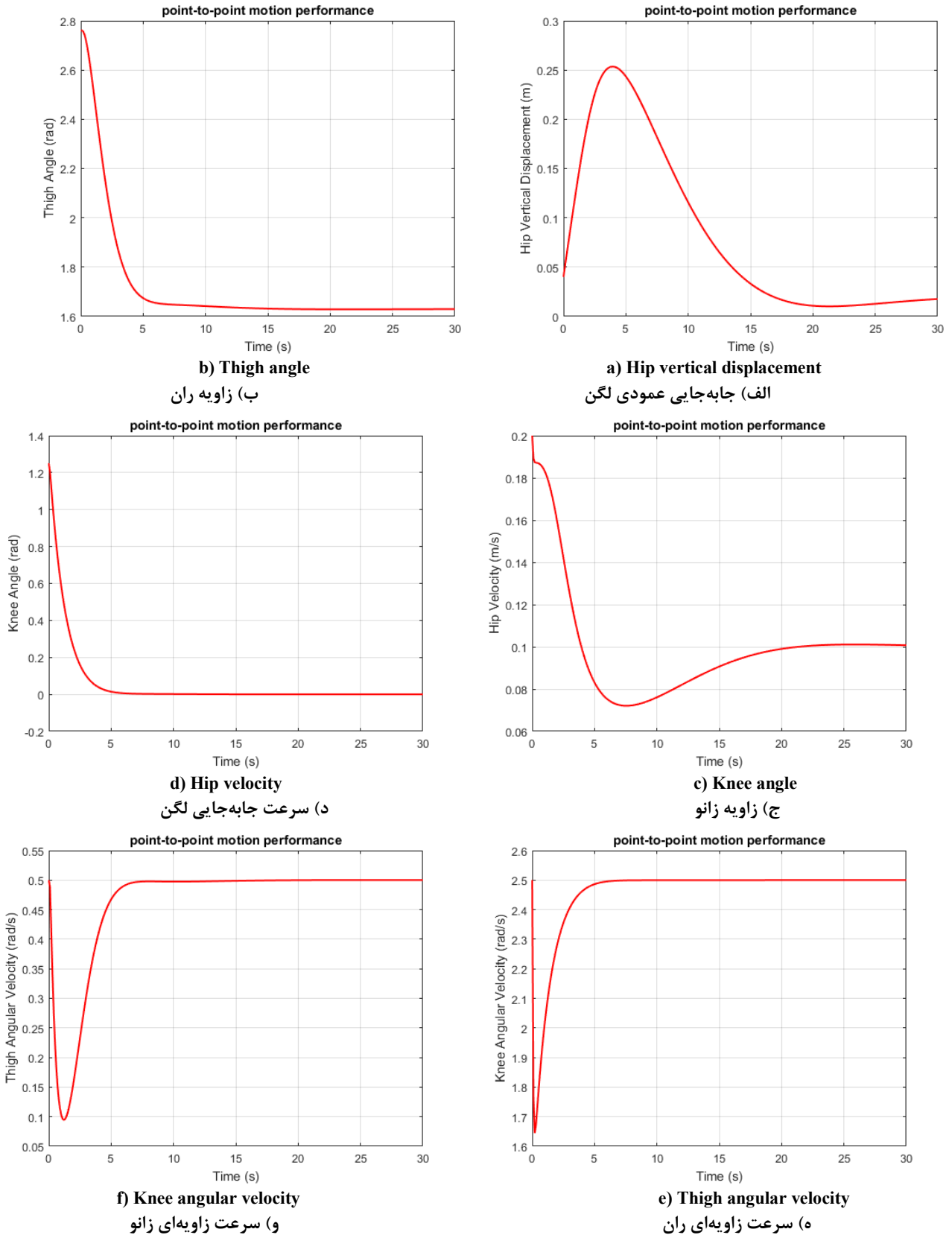
در این صورت سیستم افزوده شده<sup>۱</sup> کنترل پذیر کامل حالت است، اگر و فقط اگر رتبه ماتریس  $\mathbf{N}$  به ازای همه  $\mathbf{x}$  ها کامل باشد:

$$\mathbf{N} = \begin{bmatrix} \mathbf{B}(\mathbf{x}(t)) & \mathbf{A}(\mathbf{x}(t)) \\ \mathbf{0}_{3 \times 6} & -\mathbf{C} \end{bmatrix} \quad (25)$$

لذا در صورت برقراربودن شرط بالا، می توان از کنترل کننده فیدبک حالت مبتنی بر روش معادله ریکاتی وابسته به حالت برای این سیستم استفاده کرد. بنابراین با اعمال روش معادله ریکاتی وابسته به

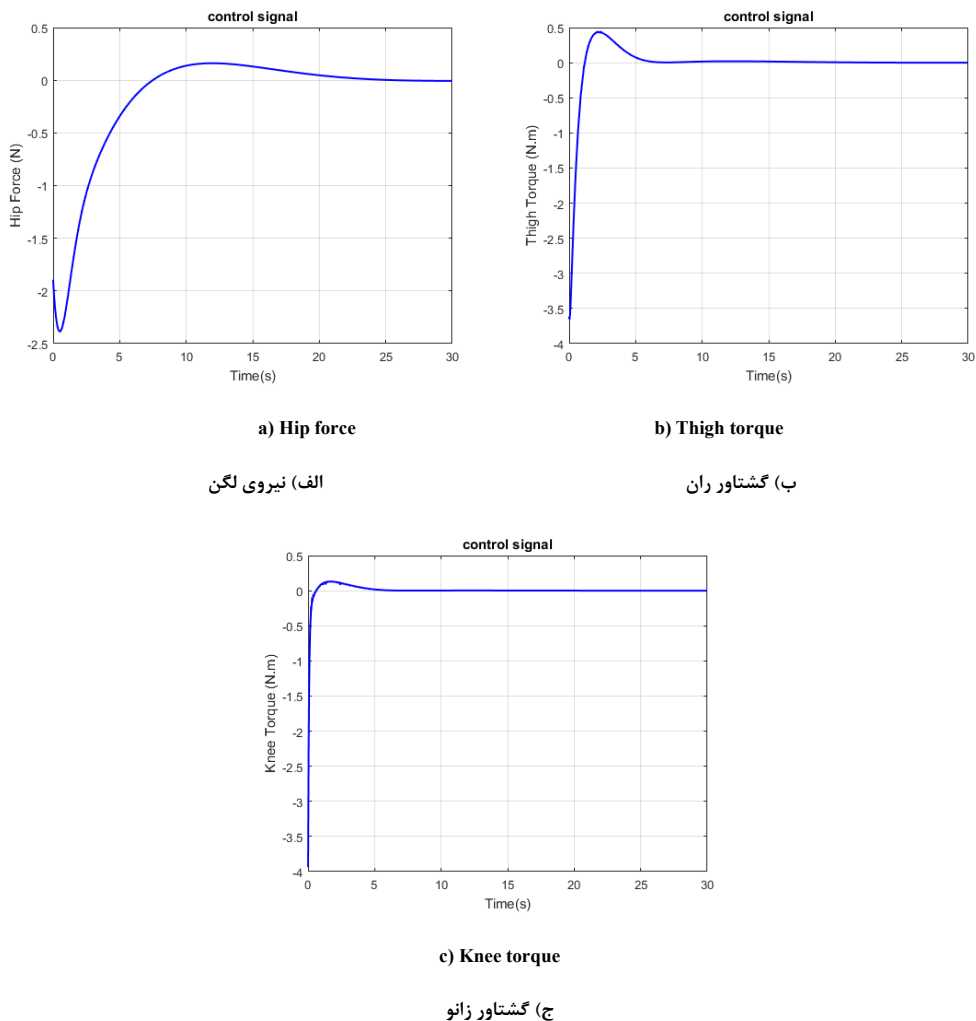
1 Augmented





شکل ۳. عملکرد ردیابی در حرکت نقطه به نقطه (الف- و)

Fig. 3. Tracking performance in point-to-point motion (a-f)



شکل ۴. سیگنال‌های کنترل در حرکت نقطه به نقطه (الف - ب - ج)  
**Fig. 4. Control signals in point-to-point motion (a-c)**

رابطه (۳۲) نیز نشان‌دهنده هزینه ردیابی کلی، هزینه کنترل کلی و در نهایت هزینه مجموع آن‌ها می‌باشد.

$$Cost_E = \sum_{i=1}^6 Cost_{Ei} \quad Cost_U = \sum_{j=1}^3 Cost_{Uj} \quad (32)$$

$$Cost = Cost_E + Cost_U$$

### ۵- نتایج شبیه‌سازی

در این بخش نتایج استفاده از کنترل‌کننده‌ی پیشنهادی بر روی مدل معرفی شده در مرجع [۲]، نشان‌داده می‌شود.

#### ۵-۱- حرکت نقطه به نقطه

مقادیر اولیه ( $\mathbf{x}_{initial}$ ) و مقادیر نهایی ( $\mathbf{x}_{desired}$ ) متغیرهای حالت

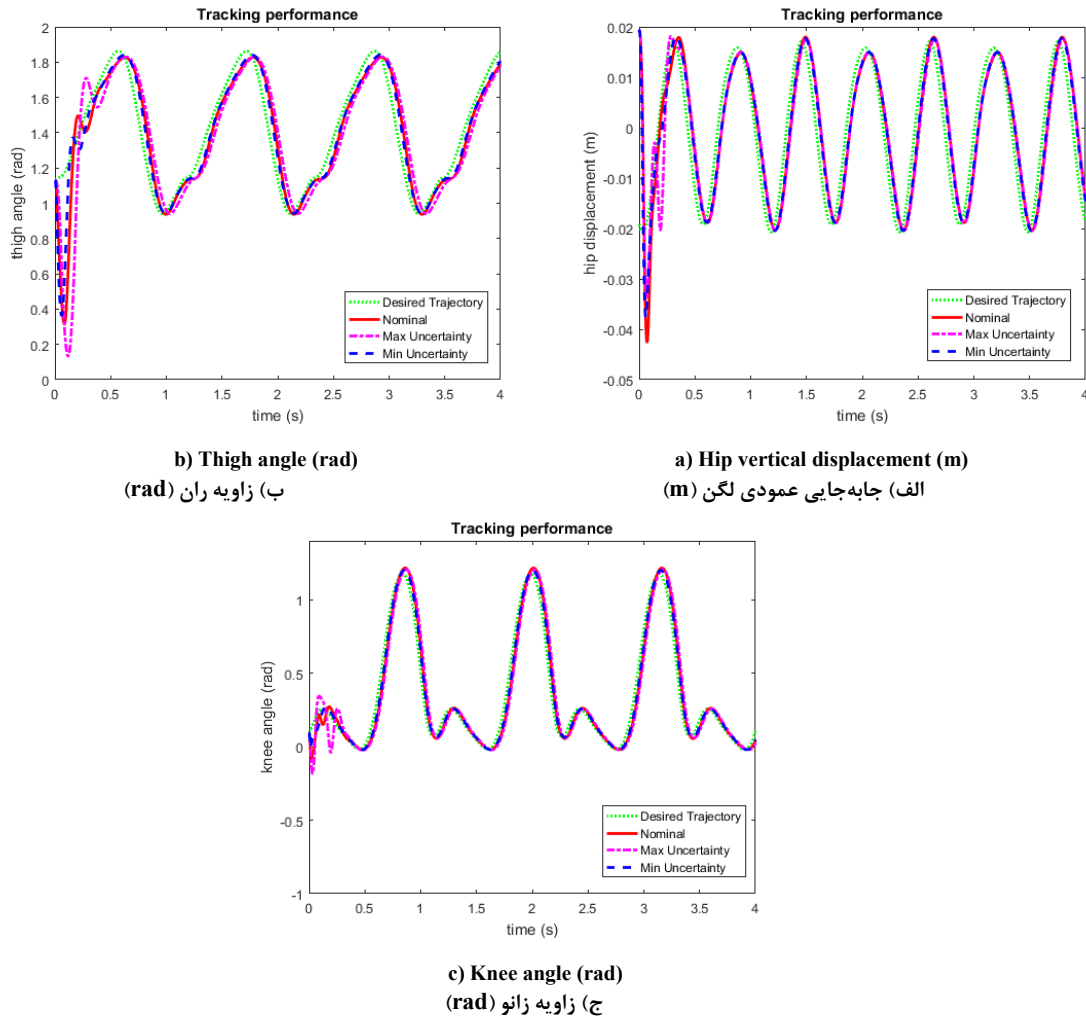
$$RMSE_i = \sqrt{\frac{1}{T} \int_0^T (\mathbf{x}_i - \mathbf{r}_{di})^2 dt} \quad i = 1, \dots, 6 \quad (30)$$

$$RMSU_j = \sqrt{\frac{1}{T} \int_0^T (\mathbf{u}_j)^2 dt} \quad j = 1, 2, 3$$

که  $T$  مدت زمان یک گام محاسباتی است.  $\mathbf{x}(t)$ ،  $\mathbf{r}_d(t)$  و  $\mathbf{u}(t)$  نیز برطبق رابطه (۶) می‌باشند. هزینه نرمالایز شده<sup>۱</sup> از رابطه (۳۱) بدست می‌آید.

$$Cost_{Ei} = \frac{RMSE_i}{\max_{t \in [0, T]} |\mathbf{x}_i - \mathbf{r}_{di}|} \quad Cost_{Uj} = \frac{RMSU_j}{\max_{t \in [0, T]} |\mathbf{u}_j|} \quad (31)$$

1 Normalized Cost



شکل ۵. عملکرد ردیابی در حالت نامی و با  $\pm 30\%$  عدم قطعیت با لحاظ کردن محدوده‌ی اشباع (الف-ب-ج)

Fig. 5. Tracking performance in nominal mode and with  $\pm 30\%$  uncertainty in presence of the saturation bound (a-c)

تغییر کرده و به صورت مجانبی به مقادیر مطلوب میل می‌نمایند. در شکل ۴ مقدار سیگنال‌های کنترلی نشان داده شده‌است. همانطور که ملاحظه می‌گردد، در ابتدای حرکت به دلیل خطایی که در اثر اختلاف بین نقطه شروع با نقطه نهایی وجود دارد مقدار نیرو و گشتاور زیاد می‌باشد، اما با گذشت زمان و رسیدن به نقطه مطلوب مقدار آن‌ها نیز کاهش می‌یابد.

#### ۵-۲- کنترل کننده ردیاب

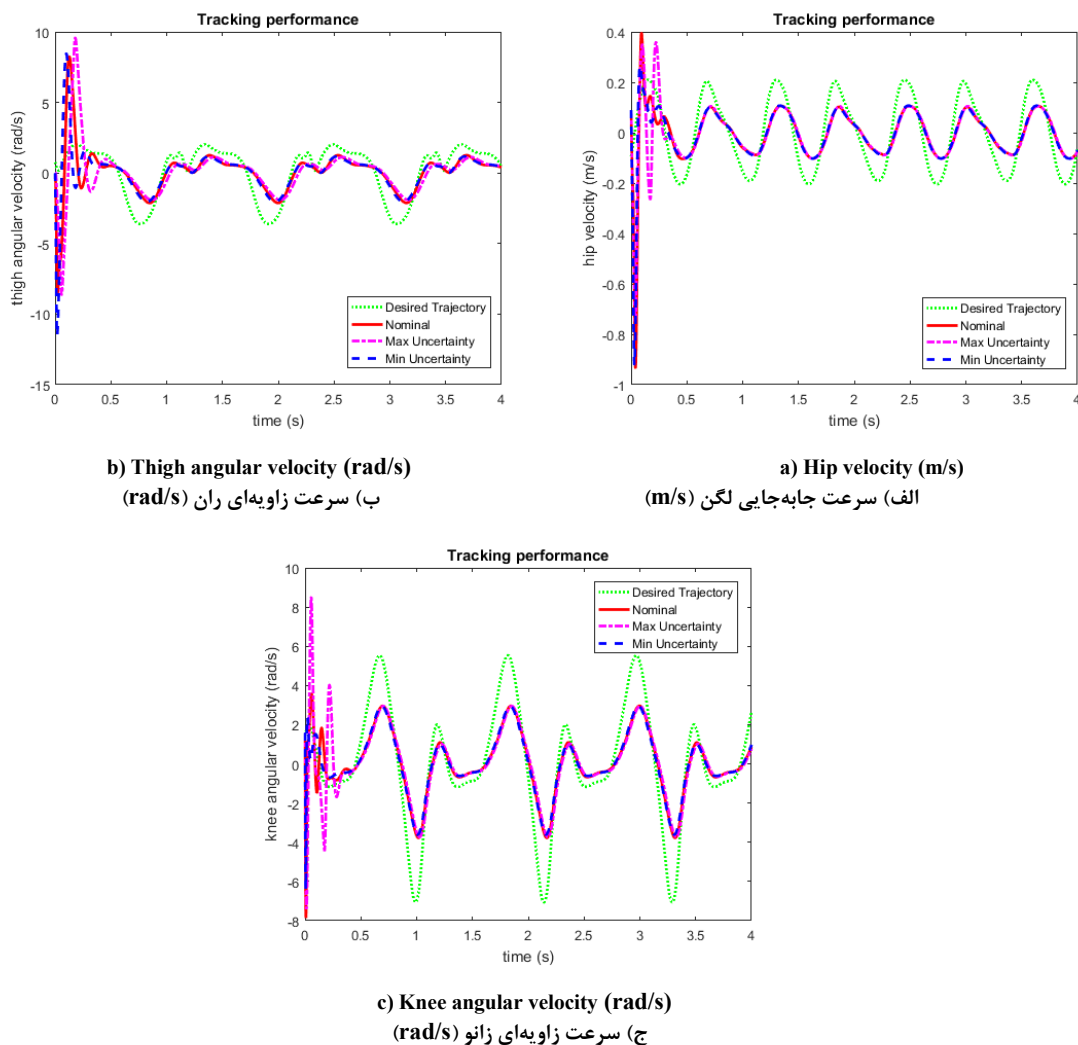
در بخش ردیابی برای مسیر مطلوب از داده‌های مرجع [۲] استفاده شده است که داده‌های پیاده‌روی از آزمایشگاه مطالعه حرکت<sup>۱</sup> مرکز

به صورت زیر در نظر گرفته می‌شوند:

$$\begin{aligned} \mathbf{x}_{initial} &= [0.04, 2.76, 0.125, 0.2, 0.5, 2.5] \\ \mathbf{x}_{desired} &= [0.02, 1.63, 0, 0.1, 0.5, 2.5] \end{aligned} \quad (33)$$

ماتریس‌های وزنی برای متغیرهای حالت و ورودی‌های کنترلی در تابع هزینه (۱۱)، به صورت  $\mathbf{Q} = 10 \times \mathbf{I}_{6 \times 6}$  و  $\mathbf{R} = \mathbf{I}_{3 \times 3}$  تعیین شده‌اند. در این زیربخش برای رسم وضعیت‌ها و سرعت‌های آن‌ها ماتریس خروجی  $\mathbf{C} = \mathbf{I}_{6 \times 6}$  در نظر گرفته شده‌است. با این انتخاب‌ها، نتایج شبیه‌سازی متغیرهای حالت  $x_1$  تا  $x_6$  در شکل ۳ رسم شده‌است.

همانطور که مشاهده می‌گردد با انتخاب مناسب ماتریس‌های وزنی در تابع هزینه (۱۱)، مقدار متغیرهای حالت با گذشت زمان به آرامی



شکل ۶. عملکرد ردیابی سرعت‌ها در حالت نامی و با  $\pm 30\%$  عدم قطعیت با لحاظ کردن محدوده‌ی اشباع (الف-ب-ج)

**Fig. 6. Velocities tracking performance in nominal mode and with  $\pm 30\%$  uncertainty in presence of the saturation bound (a-c)**

جرم، توسط موتورهای جریان مستقیم<sup>۲</sup> صورت می‌گیرد، باید در نظر داشت که این موتورها دارای محدودیت‌های سرعت و گشتاور هستند که باید در شبیه‌سازی‌ها لحاظ گردند [۲۹-۳۰]:

$$\mathbf{F}(\mathbf{u}(t)) = \begin{bmatrix} \text{sat}(u_1(t)) \\ \text{sat}(u_2(t)) \\ \text{sat}(u_3(t)) \end{bmatrix} \quad (35)$$

$$\text{sat}(u_i(t)) = \begin{cases} u_{i,\max}(t) & , \text{ if } u_i(t) > u_{i,\max}(t) \\ u_i(t) & , \text{ if } u_{i,\min}(t) < u_i(t) < u_{i,\max}(t) \\ u_{i,\min}(t) & , \text{ if } u_{i,\min}(t) > u_i(t) \end{cases} \quad , i=1,2,3$$

حداقل و حداکثر مقدار ورودی‌های کنترلی که نباید از حد مجاز خارج شوند، مطابق معادله (۳۶) محاسبه می‌شوند.

پزشکی امور جانبازان کلیولند<sup>۱</sup> می‌باشند. به منظور مقایسه، شرایط اولیه ( $\mathbf{x}_{\text{initial}}$ ) مطابق با مرجع [۲] در نظر گرفته شده‌اند، ماتریس‌های وزنی برای متغیرهای حالت و ورودی‌های کنترلی کنترل‌کننده نیز به صورت زیر تعیین شده‌اند:

$$\mathbf{x}_{\text{initial}} = [0.019, 1.13, 0.09, 0.09, 0, 1.6, 0, 0, 0]$$

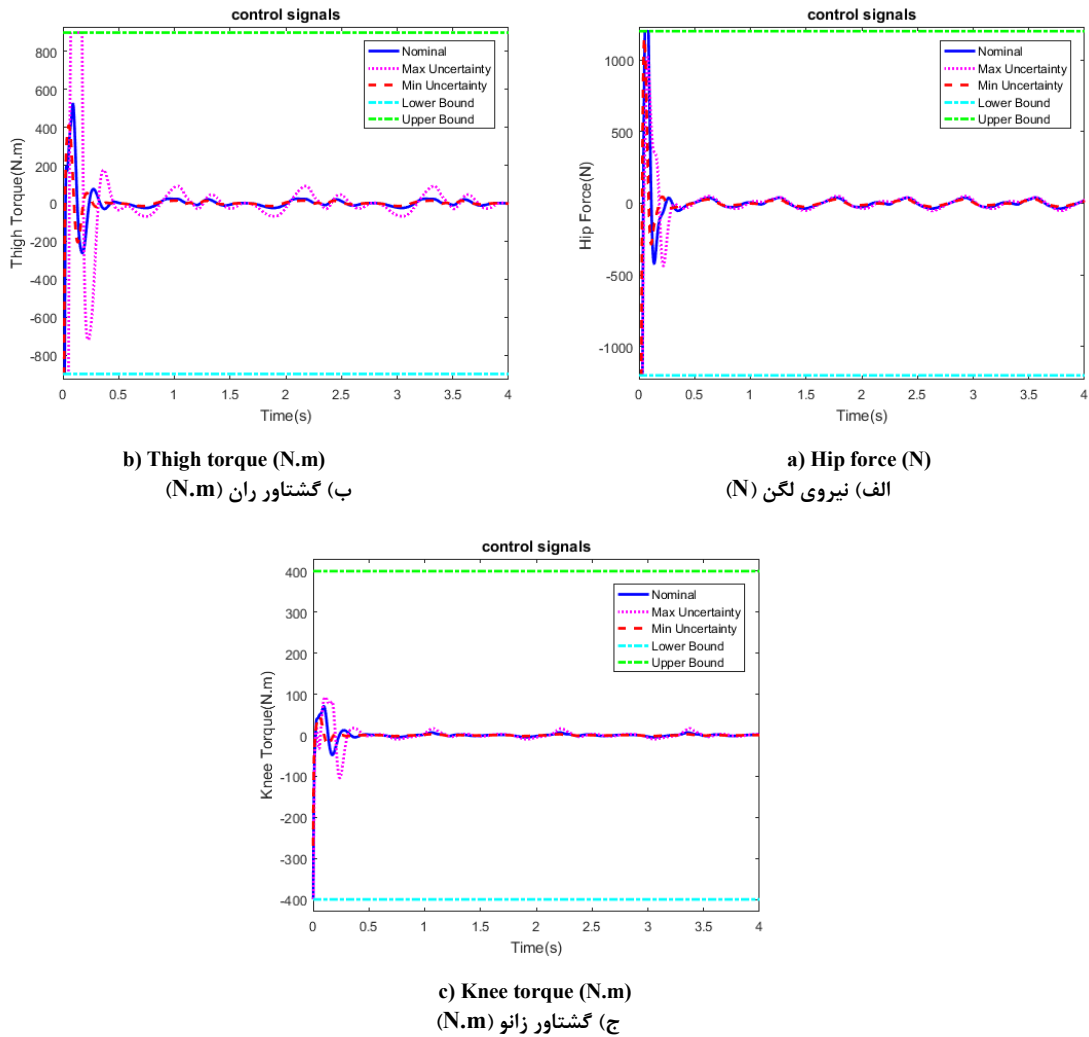
$$\mathbf{Q} = \text{diag}(10^4, 10^4, 10^4, 10^5, 10^5, 10^5, 10^{16}, 10^{13}, 10^{13})_{9 \times 9} \quad (36)$$

$$\mathbf{R} = \text{diag}(10^4, 10^4, 10^5)_{3 \times 3}$$

از آن جایی که گشتاور لازم برای به حرکت درآوردن بازوها و انتقال

2 Direct Current (DC)

1 Cleveland Department of Veterans Affairs Medical Center (VAMC)



شکل ۷. سیگنال‌های کنترل در حالت نامی و با اعمال عدم قطعیت ۳۰٪ و با لحاظ کردن محدوده‌ی اشباع (الف - ب - ج)

Fig. 7. Control signals in nominal mode and with 30% ± uncertainty in presence of the saturation bound (a-c)

و حداقل عدم قطعیت، برای مقایسه حالت‌های سیستم حلقه‌بسته با مسیرهای مطلوب نشان می‌دهد. نتایج شبیه‌سازی نشان‌دهنده‌ی عملکرد خوب در ردیابی موقعیت و زاویه‌ها می‌باشد. همچنین بررسی شکل‌ها نشان می‌دهد که بعد از یک حالت‌گذرای اولیه، که بدلیل اختلاف بین مقادیر اولیه مسیرهای مرجع و حالت‌ها می‌باشد، ردیابی در حالت نامی و در حضور عدم قطعیت و تغییر در مقادیر پارامترها، مشابه است که این امر بیانگر رضایت‌بخش بودن عملکرد مقاوم کنترل‌کننده مبتنی بر معادله ریگاتی وابسته به حالت می‌باشد.

شایان ذکر است که در این مقاله هدف اصلی ردیابی جابه‌جایی عمودی لگن و زوایای ران و زانو می‌باشد، اما بدین منظور که نشان داده شود سرعت‌های آن‌ها نیز رفتار داده‌های مرجع را دنبال می‌کنند

$$u_{i,min}^{max}(t) = \pm u_{i, stall} - \frac{u_{i, stall}}{w_{i, nl}} w_i(t) \quad (36)$$

که در آن  $u_{i, stall}$  گشتاور حد اشباع موتور،  $w_{i, nl}$  سرعت بدون بار و  $w_i(t)$  سرعت واقعی موتور نام می‌باشند. در نتیجه در ادامه، برای نیروی جابه‌جایی لگن، گشتاور ران و گشتاور زانو محدوده‌های مجازی به ترتیب برابر  $N$   $[-1200, 1200]$ ،  $N.m$   $[-900, 900]$  و  $N.m$   $[-400, 400]$  در نظر گرفته می‌شود. از این‌رو با تنظیم صحیح ماتریس‌های وزنی  $R$  و  $Q$  تلاش شده‌است که سیگنال‌های کنترلی از این حدهای مجاز فراتر نروند.

شکل ۵ عملکرد ردیابی را در حالت نامی و با لحاظ کردن حداکثر

جدول ۲. شاخص‌های عددی مقدار موثر خطای ردیابی همه حالت‌ها، مقدار موثر همه سیگنال‌های کنترل، هزینه ردیابی کلی، هزینه کنترل کلی و هزینه کل

Table 2. Numerical indicators of  $RMSE_i$ ,  $RMSU_i$ ,  $Cost_E$ ,  $Cost_U$ , and  $Cost$

شاخص‌های عددی مرجع ۲			شاخص‌های عددی این مقاله با اعمال محدوده اشباع		
حداکثر تغییر پارامترها (+۳۰٪)	حداقل تغییر پارامترها (-۳۰٪)	پارامترهای نامی	حداکثر تغییر پارامترها (+۳۰٪)	حداقل تغییر پارامترها (-۳۰٪)	پارامترهای نامی
۰/۰۰۵۰	۰/۰۰۱۵	۰/۰۰۱۴	۰/۰۰۶۸	۰/۰۰۵۶	مقدار موثر خطای ردیابی حالت اول (m) ۰/۰۰۶۴
۰/۰۰۷۰	۰/۰۰۹۰	۰/۰۰۷۸	۰/۲۰۹۸۷	۰/۱۱۹۶۶	مقدار موثر خطای ردیابی حالت دوم (rad) ۰/۱۴۴۶
۰/۰۰۴۹	۰/۰۰۵۳	۰/۰۰۴۹	۰/۱۱۰۵۸	۰/۰۶۱۶۰	مقدار موثر خطای ردیابی حالت سوم (rad) ۰/۰۸۱۴
۰/۰۱۴۸	۰/۰۱۰۱	۰/۰۰۸۹	۰/۱۱۴۰۶	۰/۱۰۶۳۹	مقدار موثر خطای ردیابی حالت چهارم (m/s) ۰/۱۱۱۴
۰/۰۶۹۵	۰/۰۷۶۰	۰/۰۶۸۳	۱/۷۵۱۱	۱/۵۶۶۵	مقدار موثر خطای ردیابی حالت پنجم (rad/s) ۱/۵۴۳۴
۰/۰۴۱۰	۰/۰۳۳۵	۰/۰۳۱۷	۱/۸۶۴۵	۱/۵۴۴۲	مقدار موثر خطای ردیابی حالت ششم (rad/s) ۱/۶۱۳۲



جدول ۲. شاخص‌های عددی مقدار موثر خطای ردیابی همه حالت‌ها، مقدار موثر همه سیگنال‌های کنترل، هزینه ردیابی کلی، هزینه کنترل کلی و هزینه کل

Table 2. Numerical indicators of  $RMSE_i$ ,  $RMSU_i$ ,  $Cost_E$ ,  $Cost_U$ , and  $Cost$

شاخص‌های عددی مرجع [۲]			شاخص‌های عددی این مقاله با اعمال محدوده اشباع		
حداکثر تغییر پارامترها (+۳۰٪)	حداقل تغییر پارامترها (-۳۰٪)	پارامترهای نامی	حداکثر تغییر پارامترها (+۳۰٪)	حداقل تغییر پارامترها (-۳۰٪)	پارامترهای نامی
۴۶۴	۵۴۴	۵۱۴	۱۶۵/۳۶۴۲	۱۳۵/۹۳۱۲	مقدار موثر سیگنال کنترل اول (N) ۱۷۵/۹۰۲۹
۱۴۶	۱۸۰	۱۷۰	۲۰۹/۸۰۶۱	۷۰/۵۲۳۹	مقدار موثر سیگنال کنترل دوم (N.m) ۸۸/۲۲۶
۸۷	۱۰۹	۱۰۲	۲۴/۴۶۲۶	۸/۷۳۳	مقدار موثر سیگنال کنترل سوم (N.m) ۱۶/۳۷۷
۱/۵۶	۱/۲۴	۱/۱۲	۱/۲۴۵۳	۱/۱۸۵	هزینه ردیابی کلی ۱/۱۸۷۶
۱/۳۰	۱/۵۷	۱/۴۸	۰/۴۳۲۰۸	۰/۲۲۴۰	هزینه کنترل کلی ۰/۲۸۵۵
۲/۸۶	۲/۸۰	۲/۶۰	۱/۶۷۷۳	۱/۴۰۹	هزینه کل ۱/۴۷۳۱

مسیر مطلوب از مقدار آن‌ها کاسته شده و دامنه سیگنال‌های کنترلی در محدوده‌ی بسیار مناسبی قرار می‌گیرند. در مقایسه با مرجع [۲] نیز مشاهده می‌شود که دامنه سیگنال‌های کنترلی روش پیشنهادی در این مقاله بسیار کمتر هستند. از سوی دیگر دیده می‌شود که در طول زمان، دامنه سیگنال‌های کنترلی در حالت نامی و با اعمال عدم قطعیت تقریباً ثابت باقی می‌مانند که این امر نیز نشان‌دهنده‌ی عملکرد مقاوم مطلوب کنترل‌کننده‌ی مبتنی بر معادله ریکاتی وابسته به حالت در این مورد می‌باشد. شاخص‌های عددی این بخش در جدول ۲ ارائه شده‌اند.

و کراندار باقی می‌مانند، سرعت‌ها نیز در شکل ۶ رسم شده‌اند. در نتیجه برای رسم تمامی حالت‌ها در این بخش ماتریس خروجی  $I_{9 \times 9}$  در نظر گرفته شده‌است.

شکل ۷ سیگنال‌های کنترل را با در نظر گرفتن پارامترهای نامی و با تغییر  $\pm 30\%$  در مقدار آن‌ها و همچنین با اعمال محدوده‌ی اشباع نشان می‌دهد. همانطور که ملاحظه می‌گردد در لحظه شروع بدلیل اختلاف بین شرایط اولیه با مسیرهای مطلوب، سیگنال‌های کنترل به مقدار اشباع خود رسیده‌اند، که در این آنالیز خیلی تأثیرگذار نمی‌باشد چرا که بعد از تقریباً  $0.2$  ثانیه با از بین رفتن خطا و قرارگیری در

می‌باشد. استفاده از کنترل حالت انتگرالی برای بهبود ردیابی و حذف اغتشاشات ثابت در بررسی عملکرد مطلوب پروتز پا در تعقیب و تکرار راه رفتن افراد سالم. استفاده از کنترلی مبتنی بر بهینگی که خاصیت مقاومت نیز در برابر عدم قطعیت‌ها، نویز و اغتشاشات خارجی نیز دارد. هدف اصلی این تحقیق در ابتدا کاهش انرژی مصرفی و سپس ردیابی مطلوب جابه‌جایی عمودی لگن، زاویه ران و زاویه زانو بوده است. بدین منظور ابتدا معادلات حالت سیستم غیرخطی به فرم پارامتریزه وابسته به حالت تبدیل شدند، اصلاحات مربوط به کنترل حالت انتگرالی انجام شد و بعد از انتخاب ماتریس‌های وزنی  $R$  و  $Q$  و با حل یک معادله ریکاتی وابسته به حالت و محاسبه ماتریس  $K$ ، سیگنال کنترلی محاسبه و به مدل ربات/ پروتز اعمال گردید. در نهایت شبیه‌سازی‌ها برای دو حالت نقطه به نقطه و ردیابی در حالت نامی سیستم و همچنین با اعمال عدم قطعیت  $\pm 30\%$  با لحاظ کردن محدوده‌های مجاز محرک‌ها انجام شد و تلاش گردید که سیگنال‌های کنترلی از آن محدوده‌ها خارج نگردند. در نهایت بررسی نتایج نشان‌دهنده‌ی عملکرد مطلوب در ردیابی وضعیت‌ها حتی با وجود  $\pm 30\%$  تغییر در مقدار پارامترهای سیستم بود. نتایج عددی نیز بیان‌کننده‌ی کاهش قابل‌ملاحظه‌ی انرژی مصرفی و همچنین مقدار هزینه‌کل روش پیشنهادی نسبت به کنترل امپدانس تطبیقی مقاوم بوده‌است. در آینده، طراحی کنترل‌کننده ردیاب برای هر شش حالت صورت خواهد گرفت. با فرض در دسترس نبودن تمامی حالت‌های سیستم از تخمین‌گر مبتنی بر معادله ریکاتی وابسته به حالت برای تخمین حالت‌های سیستم استفاده خواهد شد و همچنین برای افزایش مقاومت سیستم حلقه بسته نسبت به تغییر پارامترهای مدل ساختار کنترل‌کننده پیشنهادی با اضافه کردن کنترل مقاوم ارتقاء خواهد یافت.

در جدول ۲ خلاصه‌ای از شاخص‌های عددی براساس معادلات (۳۱) تا (۳۳) آورده شده‌است. این جدول همچنین نتایج مرجع [۲] را برای مقایسه نشان می‌دهد. همان‌طور که دیده می‌شود روش پیشنهادی عملکرد بسیار بهتری در بهینه‌سازی انرژی مصرفی دارد، بطوری که در حالت نامی هزینه کلی کنترل  $1/80\%$  کاهش یافته است. عملکرد ردیابی موقعیت‌ها نیز مطلوب می‌باشد اگرچه هزینه کلی ردیابی  $4/6\%$  کمتر از مرجع [۲] است و هزینه‌کل<sup>۳</sup> نیز در رویکرد پیشنهادی  $43/34\%$  کاهش می‌یابد. بررسی خاصیت مقاومت کنترل‌کننده‌ی پیشنهادی با اعمال  $\pm 30\%$  تغییر در مقدار پارامترهای سیستم در مقایسه با مرجع [۲] برای حداکثر عدم قطعیت نشان‌دهنده‌ی کاهش  $41/35\%$  در هزینه‌کل،  $66/76\%$  در هزینه کلی کنترل و  $20/17\%$  در هزینه کلی ردیابی می‌باشد. شاخص‌های عددی بعد از اعمال حداقل عدم قطعیت در مقدار پارامترهای سیستم نیز بیان‌کننده‌ی کاهش  $49/68\%$  در هزینه‌کل،  $4/44\%$  در هزینه کلی ردیابی و  $85/73\%$  در هزینه کلی کنترل هستند. که این نتایج نشان‌دهنده‌ی عملکرد مطلوب کنترل‌کننده‌ی پیشنهادی در حضور عدم قطعیت‌های پارامتری می‌باشد.

شایان ذکر است که به منظور مقایسه رویکرد پیشنهادی در این مقاله با مرجع [۲]، در محاسبات مربوط به هزینه کلی ردیابی، هزینه هر شش حالت (موقعیت‌ها و سرعت‌ها) لحاظ شده‌است، هر چند که ردیابی سرعت‌ها هدف این تحقیق نبوده و کاملاً دقیق هم صورت‌نگرفته‌است، با این وجود همچنان هزینه‌کل و مقدار انرژی مصرفی در این مقاله هم در حالت نامی و هم با اعمال عدم قطعیت‌ها کمتر از مرجع [۲] می‌باشد.

## ۶- نتیجه‌گیری

در این مقاله ترکیبی از رویکرد معادله ریکاتی وابسته به حالت و کنترل حالت انتگرالی به عنوان یک کنترل‌کننده برای یک پروتز رباتیکی بالای زانوی فعال طراحی شده‌است. نوآوری این مقاله بطور خلاصه بدین شرح می‌باشد: استفاده از کنترل بهینه غیرخطی مبتنی بر معادله ریکاتی وابسته به حالت برای کمینه‌کردن انرژی مصرفی این سیستم که یکی از چالش‌های طراحی پروتزهای رباتیکی

### علائم انگلیسی

ماتریس ضرایب حالت سیستم	$A(x(t))$
ماتریس ضرایب حالت سیستم افزوده‌شده	$A_a(x(t))$
ماتریس حلقه بسته سیستم	$A_{cl}$
ماتریس ضرایب کنترل سیستم	$B(x(t))$
ماتریس ضرایب کنترل سیستم افزوده‌شده	$B_a(x(t))$
دمپینگ محرک چرخشی، N-m-s	b
ماتریس ضرایب خروجی سیستم	C

1	Cost <sub>U</sub>
2	Cost <sub>E</sub>
3	Cost

سرعت بدون بار موتور $\dot{a}$ ام	$\omega_{i/nl}$	ماتریس ضرایب خروجی سیستم افزوده شده	$C_a$
سرعت واقعی موتور $\dot{a}$ ام	$\omega_i(t)$	ماتریس کریولیس و جانب مرکز	$C_p(q, \dot{q})$
متغیرهای حالت سیستم افزوده شده	$x_a(t)$	هزینه کلی کنترل و ردیابی	$Cost_E, Cost_U$
شرایط اولیه متغیرهای حالت	$x_{initial}$	هزینه کل در مجموع	Cost
مقدار نهایی متغیرهای حالت	$x_{desired}$	مولفه افقی از نیروهای واکنش زمین (GRF) به روی هر مفصل	$F_x$
خروجی سیستم	$y(t)$	مولفه عمودی از نیروهای واکنش زمین (GRF) به روی هر مفصل	$F_z$
بردار شبه حالت	$\lambda(t)$	بردار گرانشی	$G_p(q)$
ضریب اصطکاک تسمه	$\beta$	تابع هزینه	$J_0$
		سختی تسمه	$k_b$
		ماتریس بهره فیدبک کنترل کننده	$K(x(t))$
		موقعیت عمودی از پایین پا در فریم کلی	$L_z$
		$(x_0, y_0, z_0)$	
		طول ران پا، $m$	$l_2$
		طول ساق پا، $m$	$l_3$
		ماتریس اینرسی	$M(q)$
		بردار جابه‌جایی‌های کلی مفصل	$Q$
		جابه‌جایی عمودی لگن، $m$	$q_1$
		زاویه ران، rad	$q_2$
		زاویه زانو، rad	$q_3$
		ماتریس وزنی متغیرهای حالت کنترل کننده	$Q$
		ماتریس وزنی ورودی کنترلی	$R$
		بردار دمپینگ غیرخطی	$R_p(q, \dot{q})$
		مسیرهای مطلوب	$r_d$
		مقدار موثر خطاهای ردیابی هر حالت	$RMSE_i$
		مقدار موثر سیگنال‌های کنترلی	$RMSU_i$
		فاصله عمودی بین مبدأ قاب کلی و تسمه، $m$	$S_z$
		اثر ترکیبی مولفه افقی $F_x$ و مولفه عمودی $F_z$ از نیروهای واکنش زمین (GRF) به روی هر مفصل	$T_e$
		سیگنال کنترل	$u_{(SDRE-CI)}(t), u_{(SDRE)}(t), u(t)$
		گشتاور حد اشباع موتور	$u_{i, stall}$
		حداکثر و حداقل محدوده‌ی گشتاور موتور	$u_{i, min}^{max}(t)$

### مراجع

- [1] SF. Tabataba Ghomshe, R. Osqueizadehi, SH. Navabi, Trans-Tibial Amputee Gait Correction through Real-Time Visual Feedback, Journal of Sport Biomechanics, 3(1) (2016) 32-25. (in Persian)
- [2] V. Azimi, D. Simon, H. Richter, Stable robust adaptive impedance control of a prosthetic leg, In Dynamic Systems and Control Conference (Vol. 57243, p. V001T09A003), American Society of Mechanical Engineers, (2015).
- [3] SM. Moosavi, Derivative-free Kalman filter-based control of nonlinear systems with application to transfemoral prostheses, (Doctoral dissertation, Cleveland State University), (2017).
- [4] H. Richter, D. Simon, WA. Smith, S. Samorezov, Dynamic modeling, parameter estimation and control of a leg prosthesis test robot, Applied Mathematical Modeling, 2(39) (2015) 73-559.
- [5] V. Azimi, D. Simon, H. Richter, SA. Fakoorian, Robust composite adaptive transfemoral prosthesis control with non-scalar boundary layer trajectories, In 2016 American Control Conference (ACC), (2016) 3007-3002. IEEE.
- [6] D. Ebeigbe, D. Simon, H. Richter, Hybrid function approximation based control with application to prosthetic legs, In 2016 Annual IEEE Systems Conference (SysCon), (2016) 6-1. IEEE.
- [7] V. Azimi, S. Abolfazl Fakoorian, T. Tien Nguyen, D. Simon, Robust adaptive impedance control with application to a transfemoral prosthesis and test robot. Journal of Dynamic

- Applications, 2)37) (2007) 218-177.
- [18] JR. Cloutier, DT. Stansbery, The capabilities and art of state-dependent Riccati equation-based design, In Proceedings of the 2002 American Control Conference, (IEEE Cat. No. CH37301), Vol. 1 (2002) 91-86.
- [19] T. Çimen, SP. Banks, Nonlinear Optimal Tracking Control with Application to Super-tankers for Autopilot Design. *Automatica*, 11)40) (2004) 1863-1845.
- [20] A. Fakharian, MT. Hamidi Beheshti, A. Davari, Solving the Hamilton-Jacobi-Bellman equation using Adomian decomposition method, *International Journal of Computer Mathematics*, 12)87) (2010) 85-2769.
- [21] A. Fakharian, MT. Hamidi Beheshti, Solving Linear and Nonlinear Optimal Problem Using Modified Adomian Decomposition Method. *Journal of Computer & Robotics*, 1)1) (2010).
- [22] J. Jung, SY. Park, SW. Kim, YH. Eun, YK. Chang, Hardware in-the-loop Simulations of Spacecraft Attitude Synchronization using the State-dependent Riccati Equation Technique, *Advances in Space Research*, 3)51) (2013) 449-434.
- [23] F. Ornelas-Tellez, JJ. Rico, R. Ruiz-Cruz, Optimal tracking for state-dependent coefficient factorized nonlinear systems, *Asian Journal of Control*, 3)16) (2014) 903-890.
- [24] H. Ghane, MB. Menhaj, Pseudo linear systems: stability analysis and limit cycle emergence. *Journal of Control Engineering and Applied Informatics*, 2)16) (2014) 89-78.
- [25] M. Innocenti, F. Baralli, F. Salotti, A. Caiti, Manipulator path control using SDRE, InProceeding of the 2000 American Control Conference, ACC (IEEE Cat. No.00CH36334) Vol. 5 (2000) 3352-3348. IEEE.
- [26] S. Kiliçaslan, Tracking control of elastic joint parallel robots via state-dependent Riccati equation, *Turkish Journal of Electrical Engineering & Computer Sciences*, 23 (2) (2015) 538-522.
- [27] M. Xin, SN. Balakrishnan, Z. Huang, Robust state dependent Riccati equation based robot manipulator control. InProceeding of the 2001 IEEE International Conference on Control Applications, (2001) 374-369.
- [28] MH. Korayem, SR. Nekoo, State-dependent differential Riccati equation to track control of time-varying systems
- Systems, Measurement, and control, 12)140) (2018).
- [8] V. Azimi, T. Shu, H. Zhao, R. Gehlhar, D. Simon, AD. Ames, Model-based adaptive control of transfemoral prostheses: theory, simulation, and experiments. *IEEE Transaction on Systems, Man, and Cybernetics: Systems*, (2019).
- [9] A. Bavarsad, A. Fakharian, MB. Menhaj, Optimal Sliding Mode Controller for an Active Transfemoral Prosthesis Using State-Dependent Riccati Equation Approach, *Arabian Journal for Science and Engineering*, (2020) 14-1. <https://doi.org/10.1007/s04563-020-13369-x>
- [10] JJ. Slotine, W. Li, *Applied nonlinear control*. Englewood Cliffs, NJ: Prentice hall; (1991).
- [11] V. Azimi, A. Fakharian, Robust Mixed-Sensitivity Gain-Scheduled  $H_\infty$  Tracking Control of a Nonlinear Time-Varying IPMSM via a T-S Fuzzy Model, In9 2012th France-Japan & 7th Europe-Asia Congress on Mechatronics (MECATRONICS)/13th Int'l Workshop on Research and Education in Mechatronics (REM), (2012) 352-345. IEEE.
- [12] V. Azimi, MB. Menhaj, A. Fakharian, Fuzzy Mixed-Sensitivity Control of Uncertain Nonlinear Induction Motor. *Majlesi Journal of Electrical Engineering*, 2)8) (2014).
- [13] V. Azimi, A. Fakharian, MB. Menhaj, Position and Current Control of an IPMSM by Using Loop-Shaping Methodology: Blending of  $H_\infty$  Mixed-Sensitivity Problem and T-S Fuzzy Model Scheme. *Journal of Dynamic Systems, Measurement, and Control*, 5)135) (2013).
- [14] A. Fakharian, V. Azimi, Robust Mixed-Sensitivity  $H_\infty$  Control for a Class of MIMO Uncertain Nonlinear IPM Synchronous Motor via T-S Fuzzy Model. In17 2012th International Conference on Methods & Models in Automation & Robotics (MMAR), (2012) 551-546.
- [15] V. Azimi, MB. Menhaj, A. Fakharian, Tool Position Tracking Control of a Nonlinear Uncertain Flexible Robot Manipulator by Using Robust  $H_2/H_\infty$  Controller via T-S Fuzzy Model, *Sadhana*, 2)40) (2015) 333-307.
- [16] T. Çimen, State-dependent Riccati equation (SDRE) control: A survey, *IFAC Proceedings Volumes*, 2)41) (2008) 75-3761.
- [17] HT. Banks, BM. Lewis, HT. Tran, Nonlinear feedback controllers and compensators: A state-dependent Riccati equation approach, *Computational Optimization and*

پیوست

$$\begin{aligned}
 P_1 &= m_1 + m_2 + m_3 \\
 P_2 &= m_3 l_2 + m_2 l_2 + m_2 c_2 \\
 P_3 &= m_3 c_3 \\
 P_4 &= I_{2z} + I_{3z} + m_2 c_2^2 + m_3 c_3^2 + m_2 l_2^2 + m_3 l_2^2 + 2m_2 c_2 l_2 \\
 P_5 &= m_3 c_3 l_2 \\
 P_6 &= m_3 c_3^2 + I_{3z} \\
 P_7 &= b \\
 P_8 &= f
 \end{aligned}
 \tag{۱-پ}$$

$$\begin{aligned}
 M(1,1) &= P_1 \\
 M(1,2) &= P_3 \cos(q_3 + q_2) + P_2 \cos(q_2) \\
 M(1,3) &= P_3 \cos(q_3 + q_2) \\
 M(2,1) &= M(1,2) \\
 M(2,2) &= P_4 + 2P_5 \cos(q_3) \\
 M(2,3) &= P_6 + P_5 \cos(q_3) \\
 M(3,1) &= M(1,3) \\
 M(3,2) &= M(2,3) \\
 M(3,3) &= P_6
 \end{aligned}
 \tag{۲-پ}$$

$$\begin{aligned}
 C_p(1,1) &= 0 \\
 C_p(1,2) &= -\dot{q}_2(P_3 \sin(q_2 + q_3) + P_2 \sin(q_2)) - \dot{q}_3 P_3 \sin(q_2 + q_3) \\
 C_p(1,3) &= -\dot{q}_2 P_3 \sin(q_3 + q_2) - \dot{q}_3 P_3 \sin(q_3 + q_2) \\
 C_p(2,1) &= 0 \\
 C_p(2,2) &= -\dot{q}_3 P_5 \sin(q_3) \\
 C_p(2,3) &= -\dot{q}_2 P_5 \sin(q_3) - \dot{q}_3 P_5 \sin(q_3) \\
 C_p(3,1) &= 0 \\
 C_p(3,2) &= \dot{q}_2 P_5 \sin(q_3) \\
 C_p(3,3) &= 0
 \end{aligned}
 \tag{۳-پ}$$

$$\begin{aligned}
 G_p(1) &= -gP_1 \\
 G_p(2) &= -g(P_2 \cos(q_2) + P_3 \cos(q_3 + q_2)) \\
 G_p(3) &= -gP_3 \cos(q_3 + q_2)
 \end{aligned}
 \tag{۴-پ}$$

$$\begin{aligned}
 R_p(1) &= P_8 \operatorname{sign}(\dot{q}_1) \\
 R_p(2) &= P_7 \dot{q}_2 \\
 R_p(3) &= 0
 \end{aligned}
 \tag{۵-پ}$$

with state and control nonlinearities, ISA Transactions, 57 (135-117)(2015).

- [29] MH. Korayem, M. Irani, S. RAFINEKOU, Analysis of manipulators using SDRE: A closed loop nonlinear optimal control approach, (2010).
- [30] MH. Korayem, SR. Nekoo, Finite-time state-dependent Riccati equation for time-varying nonaffine systems: Rigid and flexible joint manipulator control, ISA Transaction, 54 (2015) 144-125.
- [31] H. Beikzadeh, HD. Taghirad, Stability analysis of the discrete-time difference SDRE state estimator in a noisy environment, In 2009 IEEE International Conference on Control and Automation, (2009) 1756-1751. IEEE.
- [32] M. Habibnejad Korayem, S. Rafee Nako, N. Yousefi Lademakhi, The SDRE controller and estimator design for flexible joint manipulators in presence of noise and disturbance, Modares Mechanical Engineering, 8(16) (2016) 12-1. (in Persian)
- [33] SS. Moosapour, G. Alizadeh, S. Khanmohammadi, Three-Dimensional Optimal Robust Guidance Law Design for Missile Using Sliding-Mode Control and SDRE Control. Journal of Control, 2(6) (2012) 64-55.
- [34] AK. Sedigh, Modern Control Systems, (2003). (in Persian)

چگونه به این مقاله ارجاع دهیم

A. Bavarsad, A. Fakharian, M.B. Menhaj, Nonlinear optimal control of an active transfemoral prosthesis using state dependent Riccati equation approach, AmirKabir J. Mech Eng., 53(4) (2021) 2117-2136.

DOI: 10.22060/mej.2020.17815.6668



